

磁性器件

(下册)

内部教材

北京科学教育编辑室

1964年8月

目 录

第一章 脉冲变压器	4
引言	4
§ 1-1 脉冲变压器的等效电路及其基本参数	7
§ 1-2 脉冲变压器的谐失真	10
§ 1-3 脉冲变压器的平顶失真和反突起	18
§ 1-4 脉冲变压器磁芯的磁化	21
§ 1-5 涡流对磁芯工作的影响	23
§ 1-6 脉冲变压器电气参数的计算	28
§ 1-7 脉冲变压器的结构计算	33
第二章 磁放大器	47
§ 2-1 磁放大器的理论分析	47
§ 2-2 磁放大器的响应时间	57
§ 2-3 反馈及校正反馈式磁放大器	62
§ 2-4 磁放大器的应用	68
一、用磁放大器做稳压器	69
二、当作无触点继电器用的磁放大器	70
三、磁放大器倍频调制（交流）器	74
第三章 铁氧体存贮磁芯及逻辑元件	78
§ 3-1 磁芯在存贮器中的应用	78
§ 3-2 磁芯的物理性质	81
一、磁芯的矩形度	81
二、磁芯的反转时间	83
三、提高信号噪音比的方法	85
四、磁芯性能的稳定性	86
五、磁芯的振动性能	87
§ 3-3 环形磁芯反转磁化曲线之计算	90
§ 3-4 电流重合法	100
§ 3-5 多孔磁芯存贮器	105
§ 3-6 双孔磁芯概述	108
§ 3-7 双孔磁芯的几何形状及其特性	110
一、几何形状问题	110

二、双孔磁芯的工作特性	114
§ 3-8 双孔磁芯的应用.....	119
一、无毁灭随机存取记忆器	119
二、电路选择器	125
§ 3-9 多孔铁氧体磁芯.....	127
第四章 铁氧体变参数元件	131
§ 4-1 变参数元件概述.....	131
§ 4-2 变参数元件的振荡原理及特性.....	132
§ 4-3 变参数元件基本电路.....	136
一、变参数电路的数学分析	136
二、耦合方式	138
三、串联耦合时控制信号的大小	139
四、变参数元件的开关性能及其信息的传输	141
§ 4-4 眼镜型变参数元件的设计与制造.....	145
一、磁芯的形状及尺寸	146
二、磁芯的工艺加工	146
§ 4-5 眼镜型变参数元件的电特性.....	150
一、动作点的决定	151
二、临界耦合衰减量，频率和电路常数的决定	152
三、上升时间和衰减时间	155
四、温度特性	155
五、机械应力的影响	158
§ 4-6 眼镜型变参数元件的应用.....	159
一、基本二进制逻辑电路	159
二、记忆电路和计数电路	161
第五章 薄膜存贮器，磁鼓及磁性扭结器.....	164
§ 5-1 磁性薄膜存贮器.....	164
一、薄膜的性能	164
二、磁性薄膜存贮器的结构	169
三、薄膜的制备及存贮器制造	173
四、不毁灭性薄膜存贮器	175
§ 5-2 磁性记忆鼓.....	177
一、磁鼓存贮器的一般介绍	177
二、磁鼓存贮器结构的某些考虑	179
§ 5-3 磁性扭结器.....	182
第六章 磁致伸缩器件	186

§ 6-1	磁致伸縮振动的物理过程.....	186
§ 6-2	机电換能器及等效电路.....	190
§ 6-3	各种形式机械滤波器.....	196
§ 6-4	机械滤波器的特性与制造技术.....	202
§ 6-5	磁致伸縮超声波发生器及其应用.....	208
§ 6-6	磁致伸縮延迟线.....	213

目 录

第一章 脉冲变压器	4
引言	4
§ 1-1 脉冲变压器的等效电路及其基本参数	7
§ 1-2 脉冲变压器的谐失真	10
§ 1-3 脉冲变压器的平顶失真和反突起	18
§ 1-4 脉冲变压器磁芯的磁化	21
§ 1-5 涡流对磁芯工作的影响	23
§ 1-6 脉冲变压器总气隙参数的计算	28
§ 1-7 脉冲变压器的结构计算	33
第二章 磁放大器	47
§ 2-1 磁放大器的理论分析	47
§ 2-2 磁放大器的响应时间	57
§ 2-3 反馈及校正反馈式磁放大器	62
§ 2-4 磁放大器的应用	68
一、用磁放大器做稳压器	69
二、当作无触点继电器用的磁放大器	70
三、磁放大器倍频调制（交流）器	74
第三章 铁氧体存贮磁芯及逻辑元件	78
§ 3-1 磁芯在存贮器中的应用	78
§ 3-2 磁芯的物理性质	81
一、磁芯的矩形度	81
二、磁芯的反转时间	83
三、提高信号噪音比的方法	85
四、磁芯性能的稳定性	86
五、磁芯的振动性能	87
§ 3-3 环形磁芯反转磁化曲线之计算	90
§ 3-4 电流重合法	100
§ 3-5 多孔磁芯存贮器	105
§ 3-6 双孔磁芯概述	108
§ 3-7 双孔磁芯的几何形状及其特性	110
一、几何形状问题	110

二、双孔磁芯的工作特性	114
§ 3-8 双孔磁芯的应用.....	119
一、无毁灭随机存取记忆器	119
二、电路选择器	125
§ 3-9 多孔铁氧体磁芯.....	127
第四章 铁氧体变参数元件	131
§ 4-1 变参数元件概述.....	131
§ 4-2 变参数元件的振荡原理及特性.....	132
§ 4-3 变参数元件基本电路.....	136
一、变参数电路的数学分析	136
二、耦合方式	138
三、串联耦合时控制信号的大小	139
四、变参数元件的开关性能及其信息的传输	141
§ 4-4 眼镜型变参数元件的设计与制造.....	145
一、磁芯的形状及尺寸	146
二、磁芯的工艺加工	146
§ 4-5 眼镜型变参数元件的电特性.....	150
一、动作点的决定	151
二、临界耦合衰减量，频率和电路常数的决定	152
三、上升时间和衰减时间	155
四、温度特性	155
五、机械应力的影响	158
§ 4-6 眼镜型变参数元件的应用.....	159
一、基本二进制逻辑电路	159
二、记忆电路和计数电路	161
第五章 薄膜存贮器，磁鼓及磁性扭结器.....	164
§ 5-1 磁性薄膜存贮器.....	164
一、薄膜的性能	164
二、磁性薄膜存贮器的结构	169
三、薄膜的制备及存贮器制造	173
四、不毁灭性薄膜存贮器	175
§ 5-2 磁性记忆鼓.....	177
一、磁鼓存贮器的一般介绍	177
二、磁鼓存贮器结构的某些考虑	179
§ 5-3 磁性扭结器.....	182
第六章 磁致伸缩器件	186

§ 6-1	磁致伸缩振动的物理过程.....	186
§ 6-2	机电换能器及等效电路.....	190
§ 6-3	各种形式机械滤波器.....	196
§ 6-4	机械滤波器的特性与制造技术.....	202
§ 6-5	磁致伸缩超声波发生器及其应用.....	208
§ 6-6	磁致伸缩延迟线.....	213

第一章 脉冲变压器

引言

脉冲技术是无线电技术的重要分支，它的发展就直接关连着整个无线电技术的发展。例如视频脉冲广泛的应用在脉冲通訊（无线的和有线的），图像的傳送（无线电传真和电视）目标位置的确定（雷达和导航），电子計算机和遙远控制等。在需要天綫发送时，必須事先把视频脉冲变换为射频脉冲，再在接收后，把射频脉冲还原成视频脉冲。

与普通无线电技术相比，脉冲无线电通訊有许多重大的优点；其中主要优点之一，是各种干扰的影响可以减小，应用脉冲方法，还可以在同一載波上实现多路通訊。

雷达，电视和导航都是应用脉冲技术的最大部門之一，依靠狭窄脉冲来发现目标，确定目标的空间坐标或者进行空间“摄影”，无论在军事上还是民用上都有极其重大的意义。

因此，为了实现脉冲通訊，脉冲控制等用途，从理論及实验方面来研究各种窄脉冲的形成，不失真地放大和变换問題都是具有重要的意义。众所周知，在脉冲的形成，放大和变换等方面都广泛的使用着脉冲变压器。

脉冲变压器是用来变换間隔度相当高，周期性重复的电脉冲。除了几种特殊的应用以外（例如，用作所謂顛值变压器，微分变压器以及一些其他类型的变压器），在大多数情况下，对脉冲变压器的主要要求是在傳送电脉冲时，脉冲波形應該沒有畸变。就是說，当在这种变压器的輸入端上加上某一定形状的电脉冲时，在变压器輸出端希望得到（在理想情况下）一个形状完全相同的，但是振幅或极性可以不同的脉冲。以后所指的脉冲变压器就是这样的变压器。

脉冲变压器一般是可以用在多种脉冲的形成电路，寬脉冲阻塞（間歇）振蕩器中，在电视中用它来产生扫描脉冲，在定位，导航等技术中用它来控制，形成搜索脉冲系統以及产生时标。应用脉冲变压器通常是为了达到以下几个主要目的：

- a) 匹配阻抗（图 1 a）；
- b) 升高或降低脉冲电压（图 1 b）；
- c) 改变脉冲的极性；
- d) 使变压器的次級电路的电位和初級电路的电位分开（图 1 d）；
- e) 利用数个次級綫圈，得到几个大小不同但处在一定相位关系下的电压脉冲（图 1 e）；
- f) 消除电源电流的直流分量；
- g) 在电子管脉冲发生器中，使电子管的阳极电路与栅极电路間具有强耦合（例如，在阻塞振蕩器中（图 1 g）。

現在讓我們來研究几个应用脉冲变压器的具体例子。

图 1 a 中画出了一个脉冲装置的綫路，这个装置把貯集在充了电的电容器 (C_a) 中的能量，用波阻抗为 P_a 的饋綫 (ϕ)，傳輸到电阻性的，但不等于波阻抗 P_a 的負載 R_a 中。如果没有饋綫，那么这就是电容器在純电阻上放电的最简单的情况。如果由于技术上的原因，負載

必須放在离电容器很远的地方时，这时能量的傳輸就要用饋綫来实现。一般饋綫的波阻抗和給定的負載电阻 R_n 相差很大。在利用饋綫傳輸能量时，为了得到最佳的傳輸条件，同时也为了在負載阻抗上获得一定形状和大小的电压脉冲，就必須使負載阻抗 R_n 和饋綫的波阻抗

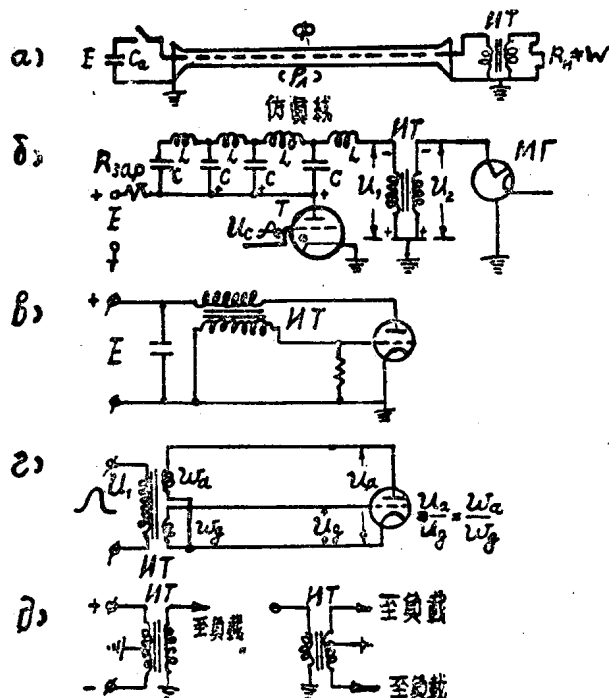


图 1 脉冲变压器在无线电设备中的应用

P_n 匹配。这样的匹配是用脉冲变压器 NT 来完成的。还要注意，在某些情况下，不仅在饋綫的末端需要有匹配变压器，同时，在饋綫的始端也必須有脉冲变压器，以使饋綫的波阻抗与脉冲电源的內阻相匹配。

图 1 δ 是脉冲調制的大功率磁控管振蕩器的原理图。在脉冲工作情况下，在磁控管振蕩器的阴极上必須加上一个負极性的、接近于矩形的高压調制脉冲。为了产生所需要的脉冲，可以应用图 1 δ 中所示的由直流电压电源 E 充电的仿真綫。仿真綫充电以后，通过閘流管 T （或其他的放电管）向負載（磁控管）放电。閘流管的工作由同步脉冲 u_a 来控制，这些同步脉冲是由一个同步脉冲发生器（这个发生器在图中沒有画出）得来的，它們周期性地加在閘流管的栅极上。在大多数情况下，閘流管的工作电压小于磁控管的工作电压，而且通常用仿真綫获得的脉冲电压只等于充电电压 E 的二分之一。因此，为了在磁控管阴极上得到一个幅度足够大的电压脉冲，就必須应用升压的脉冲变压器。举例說，如果磁控管的工作电压等于 20000 伏，而閘流管的工作电压等于 10000 伏，那么就必须选择仿真綫的充电电压 $E=10000$ 伏，同时必须应用变压系数 $q_r=4$ 的变压器（此时变压器初級綫圈上的电压将为 $U_1 = \frac{E}{2} = 5000$ 伏）。

在上述的例子中，作用在磁控管振蕩器上的电压脉冲的极性（負的）与得自形成装置和加在变压器初級綫圈上的电压脉冲的极性是一致的。但是，如果不采用磁控管振蕩器而用电子

管高頻振蕩器時，在它的陽極上就要加上正極性的脈衝，這時正如圖 1 δ 所示的線路中採用脈衝變壓器，就不僅是為了提高脈衝電壓，同時也是為了改變脈衝的極性。例如，某一個脈衝裝置，它的供給電源的極性已經給定，而且根據技術上的考慮不能加以改變；同時在這個設備中，採用閘流管或其他器件作為電閥，為了使這種電閥能夠正常地工作，在其上必須加上一個極性完全確定的電壓（圖 1 δ 中這個電壓是正極性的），在這種情況下，就必須採用脈衝變壓器。

在脈衝工作時，絕緣物的耐壓強度增加，根據這一點考慮，在某些情況下，我們願意採用升壓的脈衝變壓器。我們知道，在脈衝工作時（電壓只在幾微秒內產生作用），絕緣物的耐壓強度比在直流電壓的作用下要高得多。當脈衝的持續時間為一微秒或更短時，耐壓強度可以增加到兩倍或兩倍以上。從這一點來看，當某一種裝置是在脈衝情況下工作，而且供給電壓必須非常高時，最好先在相當低的電壓下形成脈衝，然後再把所得的脈衝變換到所需的高壓。採用這種方法時，長時間作用在絕緣體上的電壓（例如圖 1 δ 中形成線的電容器上的電壓）是一個比較低的電壓，而高壓只是在脈衝產生的極短時間內發生作用。

對脈衝變壓器來說，在理論和實際應用方面最重要的問題是研究前沿和後沿很陡，而持續時間很短的電壓脈衝作用在變壓器線圈上時所發生的過程。要想變換這樣的脈衝是很困難的。另一方面，幾乎所有的適用於窄脈衝的結論和計算公式，在脈衝持續時間較大時仍然可以應用。從這些考慮出發，以後我們主要是研究現在常用的，最窄的脈衝變換，這些脈衝的持續時間約為 1 至 2 微秒，或更窄些；脈衝的間隔度也很高，約為 1000。當我們把所得的結論推廣到持續時間比較長的脈衝時，只須注意變壓器工作時的能量關係和它的發熱情況，在脈衝的持續時間相當長，重複頻率相當高時，這種發熱情況可能成為決定脈衝變壓器結構的因素。與此相反，當脈衝的持續時間很短時，變壓器發熱的情況以及變壓器內的能量關係就都沒有決定性的意義。

對脈衝變壓器的主要要求是變換後的脈衝形狀應該沒有畸變。從這一點來看，在確定脈衝變壓器的結構和尺寸時，變壓器電路中產生的寄生振蕩具有很重要的意義。產生這些振蕩的原因，是因為在變壓器電路中存在着寄生參量——寄生電容和變壓器線圈的漏感。因有寄生參量而產生的振蕩使變換後的脈衝前沿發生畸變（圖 2）；在脈衝的前沿，脈衝波的“冠頂”，以及脈衝的後沿部分，都出現了疊加的高頻振蕩；此外，和變壓器輸入端的情況比較，變壓器輸出端脈衝的前沿和後沿的斜度也降低了。

這樣，很窄的電壓脈衝通過變壓器時主要障礙，就是變壓器電路的寄生參量，因為這些寄生參量使脈衝波形產生了畸變。這就是限制脈衝變壓器的應用以及確定極窄脈衝的變換是否可能的主要因素。當負載具有整流（活門）特性時（例如磁控管），脈衝後沿上所產生的振蕩就具有非常大的振幅，而且衰減很慢（圖 2），這些振蕩在負載上產生附加的寄生脈衝——“假訊號”，因而可能破壞有關設備的正常工作。

為了消除變換後的脈衝波形的畸變，必須盡量減少寄生參量。減少寄生參量的方法是：變壓器的磁芯應該用特殊的材料制成，同時，線圈的結構也應當恰當。但是，在這一方面，

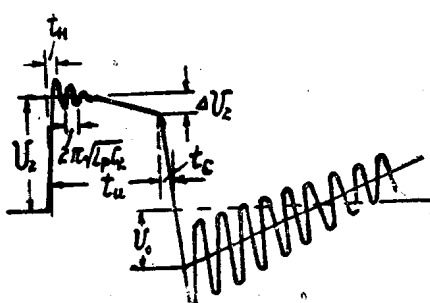


圖 2 寄生參量對脈衝變壓變換後波形的影響

— 6 —

具有主要意义的还是减小磁芯尺寸和线圈匝数。在设计变压器时，我们力求减小这些数值，于是在脉冲工作的时间内，磁芯中磁感应增量 ΔB 就会很大。这是因为：由变压器的基本电磁公式知道：磁芯中磁感应增量是与磁芯的截面积和线圈匝数成反比的。因此，磁芯中磁感应变化的速度非常快（可能达到每秒 10^11 高斯），这比一般低频变压器中磁感应的变化速度至少要快数十倍。当磁感应的变化具有这样的速度时，在磁芯材料中将感应出很大的涡流，造成很强的反磁场。因而使励磁电流强度强烈地增加。通常，这一电流和负载工作电流是可以比拟的；如果变压器的结构不正确时，它甚至比工作电流还要大。这样大的励磁电流使脉冲顶部产生畸变（图 2），对很多实际的应用来说，这是不能允许的。这一情况，也就是由于企图减小寄生参数所直接引起的，由此可见，变压器磁芯的电磁过程对变压器的工作具有很大的影响。因此我们必须对它加以详细的研究。

从上面所提到的这些特点看来，研究脉冲变压器的工作原理并拟定它的计算方法就显得非常必要了。事实上，在许多学者和工程师的著作中已经建立了脉冲变压器的理论。下面我们将要对变压器的某些理论和计算问题进行讨论。

§ 1-1 脉冲变压器的等效电路及其基本参数

脉冲变压器的等效电路如图 3 所示。在这里，次级电路的参数被归算至变压器初级线圈的线路中，而变压器用下面参数表示：

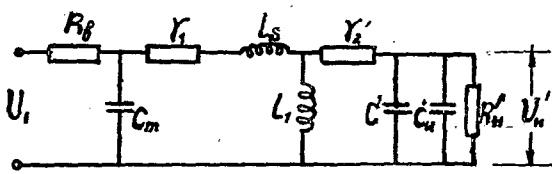


图 3 脉冲变压器的等效电路

r_1, r_2 —— 变压器初级，次级线圈电阻；

L_s —— 线圈的漏感

C —— 总的绕组电容；

L_1 —— 变压器的初级电感；

R_s —— 输入阻抗；

标有一撇的为归算后的电压，电流和次级电路的参数用下面的公式表示：

$$r'_2 = \frac{r_2}{n^2} ; \quad (1-1-1)$$

$$C'_n \approx C_n n^2 ; \quad C' = C n^2 ; \quad (1-1-2)$$

$$U'_n = \frac{U_n}{n} ; \quad i'_n = i_n \cdot n ; \quad (1-1-3)$$

$$R'_n = \frac{R_n}{n^2} ; \quad R_n = \frac{U_n}{I_n} ; \quad (1-1-4)$$

$$n = \frac{W_2}{W_1} \quad \text{—— 变压系数;} \quad (1-1-5)$$

U_n —— 负载脉冲电压的额定值；

I_n —— 负载电流的额定值（在脉冲中）；

由于次级线圈电阻很小 ($r'_2 \ll R'_n$)，励磁电流的数值也不大 ($i \ll i'_n$)，所以，可以把阻抗 r'_2 与阻抗 r_1 合并在一起，寄生电容 $C_m \ll C' + C'_n$ 也可以与电容 C' 和 C'_n 合并在一起。作为这种完全可以容许的简化之后，就可以用图 4 的计算线路；在线路内：

$$R_{1s} = R_s + r_1 + r'_2 \quad (1-1-6)$$

$$C'_n = C' + C'_n + C_m ; \quad (1-1-7)$$

$$R'_{2s} = R'_H; \quad u'_2 = u'_H; \quad i'_2 = i'_H; \quad (1-1-8)$$

此时經變換的脉冲电压的額定值（归算值）是：

$$U'_2 = U'_H = U \frac{R'_{2s}}{R_{1s} + R'_{2s}} = U \frac{R'_H}{R_{1s} + R'_H} \quad (1-1-8a)$$

在图 4 上所示出的計算綫路的特点是：这个計算綫路和用电压脉冲饋电的变压器电路相符合，在計算时，这个电压的数值可以看成是常数，即 $u = U = \text{常数}$ 。

在图 5 a 上，示出具有儲能电容換向管和輸出脉冲变压器的脉冲調制器的原理图。在綫路上，給出調制器的寄生电容 C_μ （电子管 Π_κ 的电容， C_3 电容器的引綫电容和装置电容）和負載寄生电容 C_H 。由式 (1-1-4) 的第二个公式确定出来的負載电阻，是負載电流直流分量（在脉冲間內）的負載电阻的平均值。

在計算脉冲变压器时，图 5 a 上所示出的綫路可以用图 5 b 上繪出的等效电路来代替。这里的 r_1 , r'_2 , L_s , I_κ 和 C' 是变压器等效参数， u'_2 , i'_H , R'_H 和 C'_H 是归算到初級綫圈的数值，可由上面的公式 (1-1-1) ~ (1-1-5) 計算出来，在計算时，調制器可用并联有两个电阻 R_1

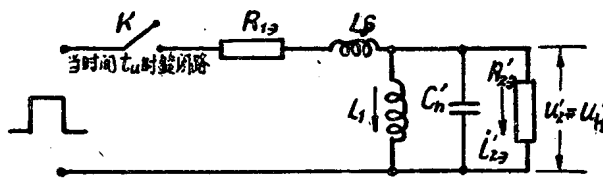


图 4 电压饋电脉冲变压器的計算綫路

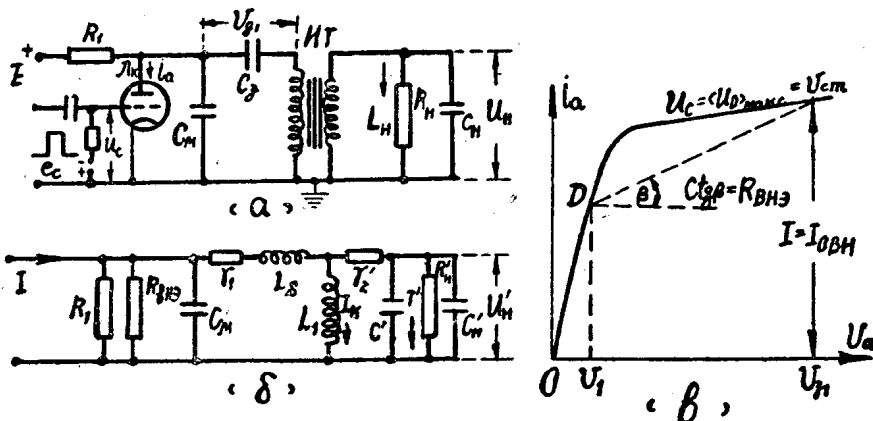


图 5 具有輸出脉冲变压器的脉冲調制器的原理图和等效电路图

和 R_{BH3} 的脉冲电流电源来表示，其中 R_1 等于調制器的充电电阻， $R_{BH3} = \cot\beta$ 等于換向管 Π_κ 的等效内阻（图 5 b）。因此，在我們所研究的情况下，变压器电路应当用宽度为 T 的矩形电流脉冲来饋电，这个宽度 t_n 决定于換向管开启状态的持续期作用于电子管栅极的脉冲宽度 $t_n = t_{n\alpha}$ 。饋电电流脉冲的数值 $i = I = \text{常数}$ ，决定于电子管的阳极电压 $u_2 = U_3$ ，（这里 U_3 是电容器 C_3 的充电电压）和电子管栅极电压

$$u = (u_c)_{max} = U_{cm}.$$

由于阻抗 $r_1 + r'_2 \ll R'_H$ 和电流 i_κ ($i_\kappa \ll i'_H$) 的数值很小，在計算变压器时，可以把阻抗 r_1 和 r'_2 与电阻 R'_H 合并起来，并且把比較不大的电容 $C_\mu \ll C' + C'_H$ 与电容 C' 和 C'_H 也一起合并成为一个总的寄生电容 C'_μ 。这样，我們可以得到图 6 的計算电路，其中：

$$C'_n \approx C_n + C' + C'_h; \quad C' = Cn^2; \quad C'_h = C_h n^2 \quad (1-1-9)$$

$$R_{2g} \approx R'_h + r_1 + r'_2; \quad R'_h = \frac{R_h}{n^2}; \quad r'_2 = \frac{r_2}{n^2} \quad (1-1-10)$$

$$R_{1g} = \frac{R_1 \cdot R_{BHg}}{R_1 + R_{BHg}}; \quad R_{BHg} = \operatorname{ctg} \beta \quad (\text{图 } 5 \text{ e}) \quad (1-1-11)$$

$$u'_2 = i'_2 \cdot R'_{2g}; \quad i'_2 = i'_h = i_h \cdot n \quad (1-1-12)$$

这是变换的脉冲振幅的额定值（归算值）。

$$u'_2 = I \cdot \frac{R_{1g} \cdot R'_{2g}}{R_{1g} + R'_{2g}} = I \cdot R'_h \quad (1-1-12a)$$

式中：

$$R'_h = \frac{R_{1g} \cdot R'_{2g}}{R_{1g} + R'_{2g}} \quad (1-1-12b)$$

所以图 6 的计算线路的特点是：变压器电路用脉冲电流馈电，而图 4 的计算线路特点是：变压器电路用脉冲电压馈电的。

图 7 是级间脉冲变压器的接线线路，在负载电阻 R_h （既考虑到电子管 JL_2 的栅极电流，又考虑到流过栅极电路电阻 R_c 的电流）的功率不大的情况下，即当视在励磁电流 i_k 可以同负载电流 i_h 相比较的时候，为了改善经变换后的电压脉冲平顶部分的形状，通常在变换器的一个或两个线圈上并联上电阻 R_{u_1} 及 R_{u_2} ，以使变压器的有功电流增加到所需值。

级间脉冲变压器的计算，也是按照图 6 上所示的计算线路来进行。在此图中，对变压器电路馈电的电流强度 I = 常数（在宽度为 t_n 的冲间内， T 等于电子管 JL_1 开启状态的持续期），电子管的特性曲线上点 ($u_a = E$ 和 $u_c = (u_c)_{max} = U_{cm}$) 来确定的。电容

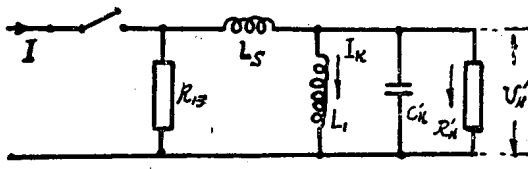


图 6 电流馈电脉冲变压器的计算电路

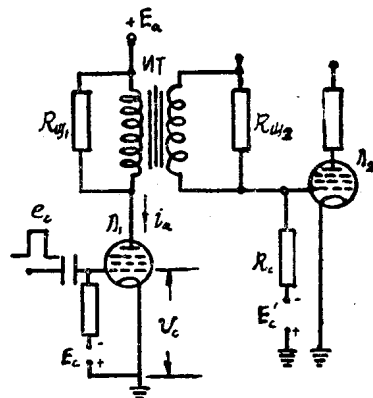


图 7 级间脉冲变压器的接线图

C'_h 用公式 (1-1-9) 表示（这里 C_n ——作用在电子管 JL_1 电路内的总寄生电容，而 C_h ——作用在电子管 JL_2 栅极电路内的总寄生电容）。而电阻 R_{1g} 和 R'_{2g} 用下面的公式表示：

$$R_{1g} = \frac{R_{BHg} \cdot R_{u_1}}{R_{BHg} + R_{u_1}}, \quad R'_{2g} = (r_1 - r'_2) - \frac{R'_{h_2} \cdot R'_{u_2}}{R'_h + R'_{u_2}} \quad (1-1-13)$$

式中 $R_{BHg} = \operatorname{ctg} \beta$ ，可以从绘制与图 5 e 相类似的图中求出。电压 u'_2 用公式 (1-1-12) 表示，公式中的负载电流 i_h 不但考虑到电子管 JL_2 的栅极电流也考虑到流过电阻 R_c 的电流。换句话说，负载电阻 R_h 应按下面公式计算：

$$R_h = \frac{R_{c_{er}} \cdot R_c}{R_{c_{er}} + R_c}, \quad \text{式中 } R_{c_{er}} = \frac{U_{cm}}{I_c} \quad (1-1-14)$$

I_c ——电子管 JL_2 的最大栅极电流。

图 4 和图 6 的线路都是典型的计算线路，实际上所遇到的变压器的线路都可以转换成这

种形式，間歇振蕩器的变压器線路，也可以轉換成为上述線路的第二种（图 6 上的）形式（帶有允許的近似度），在以后将认为需要計算的变压器电路均能归到上述計算線路中的任一种。如图 4 所示当我們将一个理想的矩形脉冲加于这样的网络的輸入端时，首先由于漏感 L_s 的存在使得电流 i 不能立刻建立，同时也由于分布电容 C'_h 的存在使得即使已經有电流存在的情况下負載电阻 R'_h 两端的輸出电压 U'_h 也还要較电流再迟后一个時間才能建立起来，因而使輸出脉冲的前沿陡度比輸入脉冲的前沿陡度为小，这就形成了脉冲变压器的失真，这样的失真是由 L_s 及 C' 所造成。此外，由图 4 也易于看出 L_s 及 C' 在网络中是以串联諧振回路的形式出現的，因此他們还可能形成振蕩，使得 u'_h 在开始的一瞬間有可能超过輸入脉冲电压 U ，这就形成了所謂突起，当然这一振蕩应受到回路中电阻 R_{1s} 及 R_h 所衰減，因而突起的程度就可以由这一衰減的程度所决定。其次由于初級电感 L_1 的存在，当脉冲建立之后， L_1 中的电流 i_L 要逐渐增加而使得流过电阻 R_{1s} 的总电流 $i = i_L + i_h$ (i_h 是流过 R_h 支路的电流) 增加了，因而于 R_{1s} 上的电压降逐渐增加， U'_h 逐渐減小，使脉冲的平頂随時間的增加而逐渐下斜这就造成了所謂平頂失真（下陷）。此外，当脉冲輸入訊号結束时，輸入端电压为零，但此一瞬間 L_1 中电流不能突变，仍保持一定的电流使得輸出端的电位处于負值，这就产生了所謂反突起。因此变压器的最后輸出有如图 2 所示的失真波形。下面我們将对脉冲变压器的沿失真及平頂失真分別予以討論。

§ 1-2 脉冲变压器的沿失真

前沿后沿失真及突起只决定于 L_s 及 C' ，与 L_1 无关，因此忽略 L_1 后图 4 可簡化成图 8。回路的微分方程經拉普拉斯变换后，运算阻抗可写成：

$$\begin{aligned} Z(P) &= R_{1s} + PL_s + \frac{1}{PC' + 1/R'_h} \\ &= R_{1s} + PL_s + \frac{R'_h}{1 + PC' R'_h} \end{aligned} \quad (1-2-1)$$

因此通过回路的电流的变换函数可写成：

$$I(p) = \frac{U}{P} \cdot \frac{1 + PC' R'_h}{L_s C' R'_h P^2 + (L_s + C' R_{1s} R'_h) P + (R_{1s} + R'_h)} \quad (1-2-2)$$

由图 8 及式 (1-2-2) 可知輸出电压：

$$\begin{aligned} U'_h(P) &= \frac{U \left(\frac{1 + PC' R'_h}{L_s C' R'_h} \right)}{P \left[P^2 + \left(\frac{L_s + C' R_{1s} R'_h}{L_s C' R'_h} \right) P + \left(\frac{R_{1s} + R'_h}{L_s C' R'_h} \right) \right]} \cdot \left(\frac{R'_h}{1 + PC' R'_h} \right) \\ &= \frac{U \left(\frac{1}{L_s C'} \right)}{P \left[P^2 + \left(\frac{R_{1s}}{L_s} + \frac{1}{C' R'_h} \right) P + \left(\frac{R_{1s}}{R'_h L_s} + \frac{1}{L_s C'} \right) \right]} \end{aligned} \quad (1-2-3)$$

令：

$$\left. \begin{aligned} \alpha_e &= \frac{R'_h}{R_{1s}}, \quad A_e = \frac{\alpha_e}{1 + \alpha_e}, \quad \omega = \frac{1}{\sqrt{A_e L_s C'}} \\ d &= \sqrt{A_e} \left(R_{1s} \sqrt{\frac{C'}{L_s}} + \frac{1}{R'_h} \sqrt{\frac{L_s}{C'}} \right) \end{aligned} \right\} \quad (1-2-4)$$

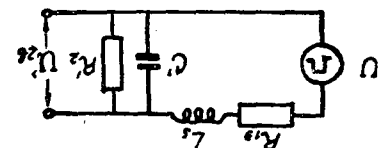


图 8 脉冲变压器的高频等效电路

則：

$$\begin{aligned} U'_n(P) &= UA_e \frac{\omega}{P(P^2 + d\omega P + \omega^2)} \\ &= UA_e \frac{\omega}{P(P - P_1)(P - P_2)} \end{aligned} \quad (1-2-3a)$$

式中 P_1, P_2 为 $P^2 + d\omega P + \omega^2 = 0$ 的两个根，

$$\left. \begin{aligned} P_1 &= \frac{-d\omega + \omega\sqrt{d^2 - 4}}{2} \\ P_2 &= \frac{-d\omega - \omega\sqrt{d^2 - 4}}{2} \end{aligned} \right\} \quad (1-2-5)$$

将变换式 (1-2-3a) 变换回原函数，并把式 (1-2-5) 代入原式则得到：

$$\begin{aligned} U'_n &= UA_e \left(1 + \frac{\omega}{2P_1^2 + d\omega P_1} e^{P_1 t} + \frac{\omega}{2P_2^2 + d\omega P_2} e^{P_2 t} \right) \\ &= UA_e \left(1 + \frac{2e^{-0.5\omega(d + \sqrt{d^2 - 4})t}}{d\sqrt{d^2 - 4} + (d^2 - 4)} - \frac{2e^{-0.5\omega(d - \sqrt{d^2 - 4})t}}{d\sqrt{d^2 - 4} - (d^2 - 4)} \right) \\ &= UA_e \left[1 - \frac{2}{\sqrt{d^2 - 4}} e^{-0.5d\omega t} \left(\frac{d}{2} \operatorname{sh} 0.5\sqrt{d^2 - 4} \omega t - \frac{\sqrt{d^2 - 4}}{2} \operatorname{ch} 0.5\sqrt{d^2 - 4} \omega t \right) \right] \end{aligned} \quad (1-2-6)$$

令：

$$\operatorname{th}\varphi = \frac{\sqrt{d^2 - 4}}{d}$$

经简化后得到：

$$\begin{aligned} U'_n &= UA_e \left[1 - \frac{2}{\sqrt{d^2 - 4}} e^{-0.5d\omega t} (\operatorname{ch}\varphi \cdot \operatorname{sh} 0.5\sqrt{d^2 - 4} \omega t - \operatorname{sh}\varphi \cdot \operatorname{ch} 0.5\sqrt{d^2 - 4} \omega t) \right] \\ &= UA_e \left[1 - \frac{2}{\sqrt{d^2 - 4}} e^{-0.5d\omega t} \operatorname{sh}(0.5\sqrt{d^2 - 4} \omega t - \varphi) \right] \end{aligned} \quad (1-2-6a)$$

由此可见，当 $d > 2$ 时 U'_n 按指数规律

$$1 - \frac{2}{\sqrt{d^2 - 4}} \operatorname{sh}(0.5\sqrt{d^2 - 4} \omega t - \varphi) e^{-0.5d\omega t} \quad (1-2-7)$$

上升，同时

$$\frac{\partial}{\partial(d)} \left[1 - \frac{2}{\sqrt{d^2 - 4}} \operatorname{sh}(0.5\sqrt{d^2 - 4} \omega t - \varphi) e^{-0.5d\omega t} \right] < 0 \quad (1-2-8)$$

可见 d 愈小，上升速度愈快，脉冲前沿陡度愈大，失真愈小。

当 $d = 2$ 时：

$$U'_n = \lim_{d \rightarrow 2} UA_e \left\{ 1 - \frac{\partial [2 \operatorname{sh}(0.5\sqrt{d^2 - 4} \omega t - \varphi) e^{-0.5d\omega t}] / \partial(d)}{\partial \sqrt{d^2 - 4} / \partial(d)} \right\}$$

$$= U A_s [1 - e^{-\omega t} (1 + \omega t)] \quad (1-2-9)$$

这是临界情况； U'_h 仍按指数律上升，并且上升速度較 $d > 2$ 时快。

当 $d < 2$ 时双曲线函数可用三角函数来表示，这时：

$$\left. \begin{aligned} \varphi &= th^{-1} j \sqrt{\frac{4}{d^2} - 1} = j \operatorname{tg}^{-1} \sqrt{\frac{4}{d^2} - 1} \\ sh(j(0.5\sqrt{4-d^2}\omega t - \varphi)) &= j \sin(0.5\sqrt{4-d^2}\omega t - \varphi) \end{aligned} \right\} \quad (1-2-10)$$

把 (1-2-10) 式代入 (1-2-6a) 式，则获得：

$$U'_h = U A_s \left[1 - \frac{2}{\sqrt{4-d^2}} e^{-0.5d\omega t} \sin(0.5\sqrt{4-d^2}\omega t - \varphi) \right] \quad (1-2-11)$$

由 (1-2-11) 式可知，当 $d < 2$ 时， U'_h 将产生减幅振荡， U'_h 的极大值可由

$$\frac{\partial \left[1 - \frac{2}{\sqrt{4-d^2}} e^{-0.5d\omega t} \sin(\sqrt{1-0.25d^2}\omega t - \varphi) \right]}{\partial (\omega t)} = 0$$

求得，此时：

$$\omega t = \frac{\pi}{\sin \varphi} \quad (1-2-12)$$

把条件 (1-2-12) 代入 (1-2-11) 式，求出电压最大值：

$$U'_{h\max} = U A_s \left(1 + e^{-0.5\sqrt{1-0.25d^2}} \right) > U A_s \quad (1-2-13)$$

由式 (1-2-11) 显而易見，电压稳定值是等于 $U A_s$ ，与 (1-2-13) 式比較，发现这时有突起产生。超量随 d 的变化由

$$\begin{aligned} &\frac{\partial \left(1 + e^{-0.5\sqrt{1-0.25d^2}} \right)}{\partial (d)} \\ &= -e^{-0.5\sqrt{1-0.25d^2}} \cdot \frac{\pi\sqrt{1-0.25d^2} + \frac{\pi}{4}(1-0.25d^2)^{-\frac{1}{2}} d^2}{1-0.25d^2} < 0 \end{aligned} \quad (1-2-14)$$

显而易見，超量随着 d 值的减小而增大。

由 (1-2-4) 式知：

$$d = \sqrt{A_s} \left(R_{1s} \sqrt{\frac{C'}{L_s}} + \frac{1}{R'_h} \sqrt{\frac{L_s}{C'}} \right)$$

其中第一項 $R_{1s}/\sqrt{L_s/C'}$ 代表 R_{1s} 与 L_s ， C' 串联諧振回路阻抗 $\sqrt{L_s/C'}$ 的比值。比值愈大，表示 R_{1s} 对該回路的衰減愈大。第二項 $\sqrt{L_s/C'}/R'_h$ 代表 R'_h 与 L_s ， C' 并聯諧振回路阻抗的比值。比值愈大， R'_h 对該回路的衰減亦愈大。因而 d 实际上就是图 4 所示网络的总衰減系数，它的大小表征着 R_{1s} 及 R'_h 对网络的衰減程度。

因而 d 愈小网络的衰減就愈小。前沿的上升就愈快。因为 R_{1s} 对 L_s ， C' 串联回路实际上起限流作用，它愈小，回路电流增长就愈快。 R'_h 对 L_s ， C' 并聯回路实际上起旁路作用，它愈大，旁路作用愈小，回路負載电压 U'_h 建立得愈快，同时 d 愈小，网络的衰減就愈小，因而超量（突起）就愈大。当 d 小至 R_{1s} 及 R'_h 不足以在一周期內将回路的振蕩能量吸收，則将产生周期性的振蕩过程。由此可見，要前沿失真小与不产生突起是存在矛盾的，因此，設

計者要解决这个矛盾就需要按具体要求来选择 d 值。

按不同 d 值代入方程式

$$\frac{U_n}{U_{nycm}} = 1 - \frac{2}{\sqrt{d^2 - 4}} e^{-0.5d\omega t} \operatorname{sh}(\sqrt{0.25d^2 - 1} \omega t - \varphi) \\ = f(d, \omega t) \quad (1-2-15)$$

则可得到如图 9 的曲线族，这是变压器次级线圈上矩形脉冲电压增长的综合曲线。图中横轴表示与时间成正比的 ωt 值。

从这些曲线也可以看出， d 愈小则上升时间亦愈快。但是，当 d 减小时，随着上升时间加快的同时超量却增加了。因此，在计算脉冲变压器时，选择 d 值要符合该情况最大容许的超量；这时上升时间将是最低可能的时间。

由 (1-2-11) 式知道，前沿是按指数曲线变化，随着时间增长指数曲线趋于稳定值 $A_e U$ 。理论上达到稳定值的时间需要满足：

$$\frac{2}{\sqrt{d^2 - 4}} e^{-0.5d\omega t_1} \operatorname{sh}(\sqrt{0.25d^2 - 1} \omega t_1 - \varphi) = 0$$

要满足上述条件，建立稳定值的时间趋于无限长。实际上，确定上升时间 t_n 即是输出电压从 0.1 增长到 0.9 的时间，因此得到下列方程式：

$$t_n = t_2 - t_1 \\ \frac{2}{\sqrt{d^2 - 4}} e^{-0.5d\omega t_1} \operatorname{sh}(\sqrt{0.25d^2 - 1} \omega t_1 - \varphi) = 0.9 \quad (1-2-16)$$

$$\frac{2}{\sqrt{d^2 - 4}} e^{-0.5d\omega t_2} \operatorname{sh}(\sqrt{0.25d^2 - 1} \omega t_2 - \varphi) = 0.1. \quad (1-2-17)$$

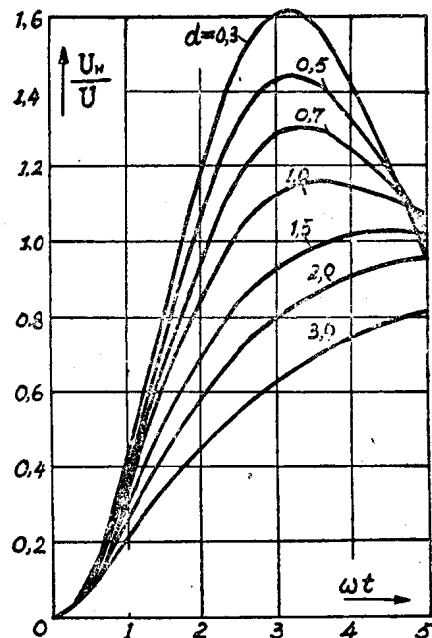


图 9 不同 d 时的电压脉冲前沿

电压最大值和稳定值之差与稳定电压之比叫做电压超量，或简称超量，用 δ 来表示：

$$\delta = \frac{U_{nmax} - U_{nycm}}{U_{nycm}} = \frac{U_{nmax}}{U_{nycm}} - 1 \quad (1-2-18)$$

式中 U_{nycm} 表示稳定值，由 (1-2-11) 式不难看出，电压稳定值是等于 $A_e U$ 的；将所得电压稳定值和最大值代入 (1-2-18) 式，求出超量与衰减系数的关系：

$$\delta = \frac{UA_e(1 + e^{-0.5\sqrt{1-0.25d^2}})}{UA_e} - 1 \\ = e^{-0.5\sqrt{1-0.25d^2}} \quad (1-2-19)$$

按 (1-2-19) 式算出的超量与 d 的关系曲线如图 10 所示；由此不难看出，当 d 值大于 1.5 时，超量不超过 3%。当 $d = \sqrt{2}$ 时，超量等于

$$\delta = e^{-\pi} \approx 0.0433$$